

## Nota 6: Multiplicador

En esta nota se describe un circuito que materializa un algoritmo convencional de multiplicación de números naturales.

### 1. Algoritmo

Considérense tres números naturales expresados en numeración binaria con  $n$  bits:

$$\begin{aligned}a &= a_{n-1}2^{n-1} + a_{n-2}2^{n-2} + \dots + a_12^1 + a_02^0, \\z &= z_{n-1}2^{n-1} + z_{n-2}2^{n-2} + \dots + z_12^1 + z_02^0, \\x &= x_{n-1}2^{n-1} + x_{n-2}2^{n-2} + \dots + x_12^1 + x_02^0.\end{aligned}$$

El cálculo de

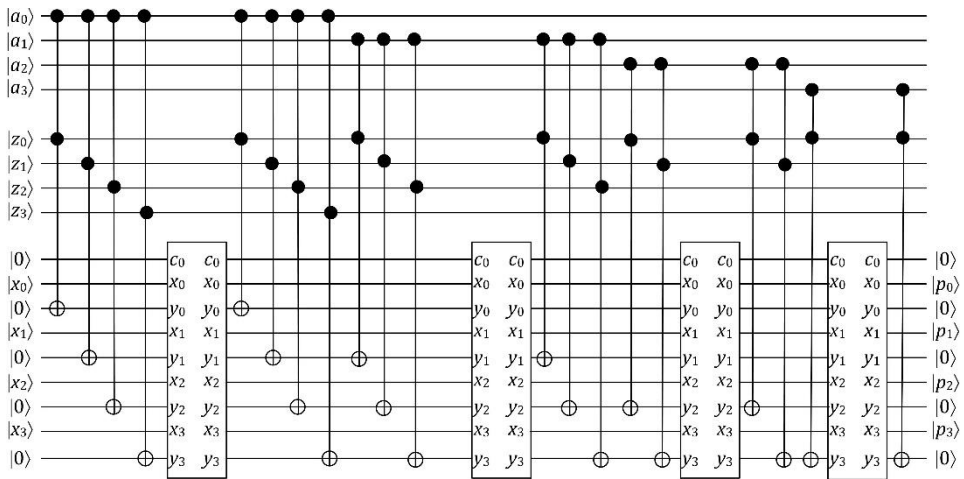
$$p = x + a \cdot z \bmod 2^n \tag{1}$$

puede ejecutarse según el siguiente esquema:

$$\begin{aligned}p_0 &= (a_0z_{n-1}2^{n-1} + a_0z_{n-2}2^{n-2} + \dots + a_0z_12^1 + a_0z_02^0), \\p_1 &= (a_1z_{n-2}2^{n-1} + \dots + a_1z_12^2 + a_1z_02^1), \\&\dots \\p_{n-2} &= (a_{n-2}z_12^{n-1} + a_{n-2}z_02^{n-2}) + \\p_{n-1} &= a_{n-1}z_02^{n-1}, \\p &= (\dots((x + p_0) + p_1) + \dots + p_{n-2}) + p_{n-1}, \bmod 2^n.\end{aligned}$$

Este esquema se reduce al cálculo de  $n(n+1)/2$  productos binarios  $a_i \cdot z_j$  con  $i+j < n$ , y de  $n$  sumas  $\bmod 2^n$  de dos números naturales, es decir, sin tener en cuenta los acarreos finales.

En la Fig.1 se muestra un multiplicador cuántico en el cual los productos  $a_i \cdot z_j$  se ejecutan con operadores  $CCX$  (Toffoli) y la suma  $p$  se ejecuta con sumadores del tipo propuesto en [2] y descrito en la nota 4 (Fig.3 y 4), sin el último qubit (acarreo de salida).



**Figura 1** Multiplicador módulo  $2^n$  ( $n = 4$ )

De forma general, un multiplicador de  $n$  bits diseñado según el esquema de la Fig.1, constaría de  $4n$  qubits,  $n(n+1)$  operadores de Toffoli y  $n$  sumadores. Los operadores de Toffoli calculan dos veces cada producto  $a_i \cdot z_j$  para que los qubits  $y_i$  estén en el estado  $|0\rangle$  antes de cada etapa.

### Ejemplo 1

El programa `nota6_1.py` describe el circuito de la Fig.1. Se utilizan las clases `CY` y `XOR` descritas en `nota4_1.py`, y se define una nueva clase `ADDER` que describe el sumador:

```
class ADDER(cirq.Gate):
    def __init__(self):
        super(ADDER, self)
    def _num_qubits_(self):
        return 9
    def _decompose_(self, qubits):
        c0,x0,y0,x1,y1,x2,y2,x3,y3 = qubits
        yield cy(c0,x0,y0)
        yield cy(y0,x1,y1)
        yield cy(y1,x2,y2)
        yield cy(y2,x3,y3)
        yield xor(y2,x3,y3)
        yield xor(y1,x2,y2)
        yield xor(y0,x1,y1)
        yield xor(c0,x0,y0)
    def _circuit_diagram_info_(self, args):
        return ["ADDER"] * self.num_qubits()
```

## 2. Comentarios

Compárense los circuitos de la Fig.6 de la nota 5 y de la Fig.1 de esta nota.

- El primero (basado en la *QFT*) utiliza el número mínimo  $3n$  de qubits ( $n$  qubits para cada uno de los tres operandos). En cambio, el segundo necesita  $n$  qubits auxiliares, con lo cual, en total utiliza  $4n$  qubits.
- El número de operadores de Toffoli, para el cálculo de los productos  $a_i \cdot x_j$  o  $a_i \cdot z_j$ , es el mismo:  $n(n+1)$ .
- El multiplicador basado en la *QFT* utiliza rotaciones  $R_\varphi$  controladas, con  $\varphi = \pi/2^k$ ,  $k = 0, 1, \dots, n-1$ , tanto para la ejecución de la transformada como para las sumas. En cambio, el multiplicador de la Fig.1 solo utiliza operadores *CX* y *CCX* (nota 4, Fig.3 y 4).

La ventaja del circuito basado en la *QFT* es que no necesita qubits auxiliares. Ello se consigue sustituyendo sumas binarias por rotaciones con ángulos perteneciendo a un conjunto finito de  $n$  valores predefinidos. La ventaja de un multiplicador más convencional, como el de la Fig.1, es que solo necesita operadores *CX* y *CCX*. Además, este último puede sintetizarse con operadores *CX* y operadores  $H$ ,  $S = R_{\pi/2}$ ,  $T = R_{\pi/4}$  y  $T^\dagger$  ([1], Fig.6.16).

Desde luego, sea cual sea el tipo de multiplicador, el diseño (*layout*) del circuito es un tema complejo: la distancia entre el qubit de control y el qubit objetivo de una puerta *CX* puede ser larga y, ello puede obligar a añadir qubits y puertas adicionales ([1], Fig.6.18).

## Referencias

- [1] J.P.Deschamps, Computación Cuántica, Marcombo, Barcelona, 2023.
- [2] S. A. Cuccaro, T. G. Draper, S. A. Kutin, and D. P. Moulton, “A new quantum ripple-carry addition circuit”, 2004, *arXiv:quant-ph/0410184*.